

*Посвящается светлой памяти А. Н. Коста*

**С. А. Лакатош\*, Е. Е. Быков, М. Н. Преображенская**

**СИНТЕЗ 2-ГЕТАРИЛ-3-(ИНДОЛ-1-ИЛ)- И -3-(ПИРРОЛ-1-ИЛ)-  
МАЛЕИНИМИДОВ И ИЗУЧЕНИЕ ИХ ПРЕВРАЩЕНИЙ  
ПОД ДЕЙСТВИЕМ ПРОТОННЫХ КИСЛОТ**

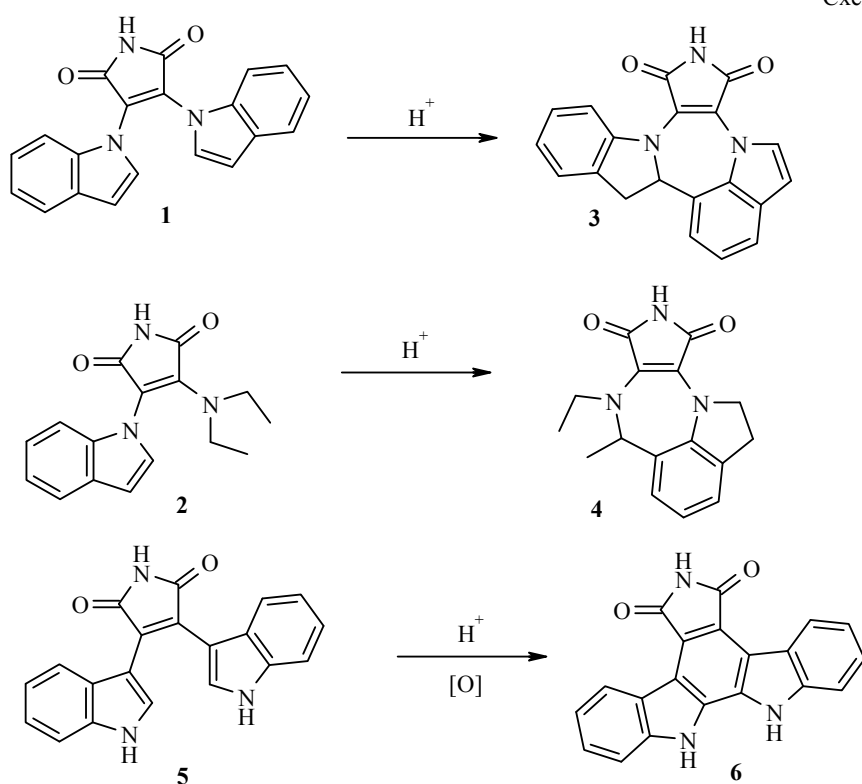
Синтезирована серия 3-(индол-1-ил)малеинимидов, замещённых по положению 2 остатками аминов либо различных азотистых гетероциклов. Изучены возможности получения на их основе новых поликонденсированных гетероциклических структур. Экспериментальные исследования подтвердили теоретическое прогнозирование, сделанное на основе результатов квантово-химических расчётов.

**Ключевые слова:** индол, индолилмалеинимиды, квантовая химия, реакция циклизации.

2-Арил-3-индолилмалеинимиды, а также 2-аминоарил-3-индолилмалеинимиды и их производные представляют интерес как потенциальные ингибиторы протеинкиназ, которые могут служить основой для создания новых лекарственных препаратов. Ряд производных бис(индолил)малеинимидов в настоящее время проходит клинические испытания [1, 2]. Ранее были синтезированы производные бис(индол-1-ил)-, 2-алкиламино-3-(индол-1-ил)малеинимидов (например соединения **1** и **2**) [3]. Было показано, что под действием протонных кислот эти соединения циклизуются с образованием диазепинового семичленного цикла с аннелированными индолиновым и малеинимидным фрагментами (соответственно **3** и **4**) в отличие от бис(индол-3-ил)малеинимидов **5**, образующих в сходных условиях соединения с шестичленным центральным циклом **6** [4] (схема 1).

В настоящей работе описано получение различных 3,4-бис(гетарил)малеинимидов, в том числе 2-гетарил-3-(индол-1-ил)малеинимидов, а также 2-амино-3-(индол-1-ил)малеинимидов и изучены трансформации некоторых из них под действием протонных кислот. В целях прогнозирования направления циклизации 2-гетарил-3-(индол-1-ил)малеинимидов под действием протонных кислот были проведены квантово-химические расчёты распределения электронной плотности на реакционных центрах гетарилмалеинимидов и их индолениниевых катионов, образующихся при протонировании, а также энергетических параметров соответствующих реакций циклизации.

Схема 1

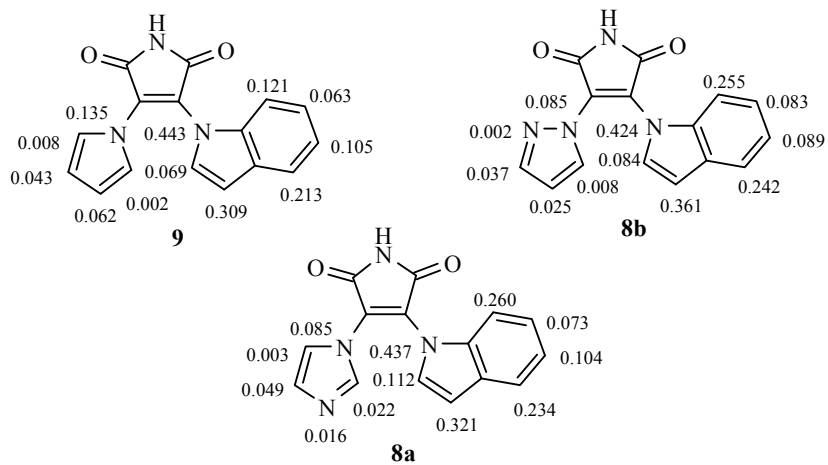
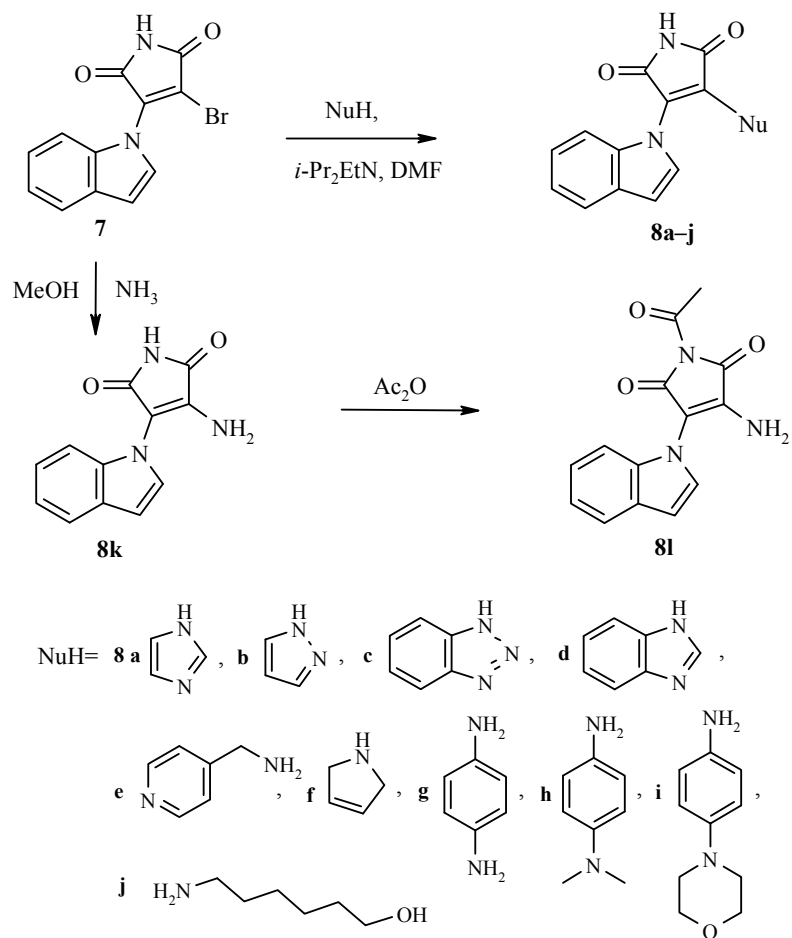


Конденсацией 2-бром-3-(индол-1-ил)малеинимида (**7**) с соответствующими аминами или азотистыми гетероциклами в ДМФА при нагревании в присутствии этилдизопропиламина были получены производные (индол-1-ил)малеинимида **8a–j**. 2-Амино-3-(индол-1-ил)малеинимид (**8k**) был получен взаимодействием соединения **7** с аммиаком в метаноле при комнатной температуре (схема 2).

Нагревание соединения **8k** в уксусном ангидриде привело к ацетилированию по малеинимидному атому азота, а не по азоту в положении 2 малеинимидного фрагмента. Возможность и направление циклизации аналогов 2-гетарил-3-(индол-1-ил)малеинимидов, в которых 2-гетарил = = пиррол-1-ил (**9**), пиразол-1-ил (**8b**) или имидазол-1-ил (**8a**), были исследованы методами квантовой химии. Для изучения направления протонирования этих молекул был проведён расчёт распределения граничной электронной плотности на их ВЗМО.

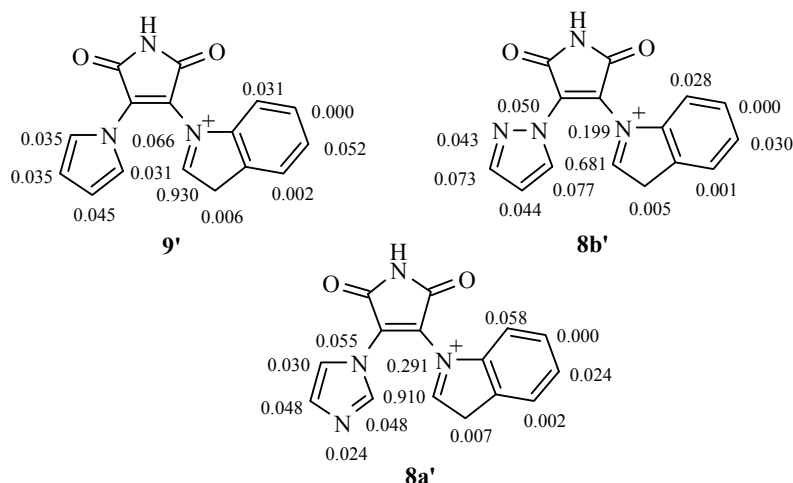
Согласно результатам расчётов по методу функционала плотности B3LYP/6-31G(d) и методу AM1, несмотря на то, что значения индексов Фукуи в пирролдионах **8**, **9** больше на N(1), чем на C(3), более нуклеофильным следует считать атом C(3) [5]. Следовательно, можно предположить, что протонирование будет происходить по положению 3 индольного фрагмента каждой из перечисленных выше молекул.

Схема 2

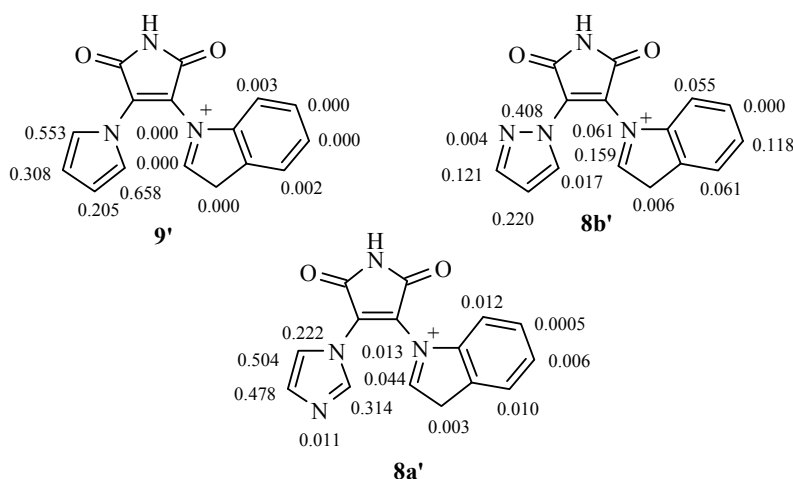


Для оценки реакционной способности сопряжённых кислот соединений **8a**, **8b** и **9** (соответственно **8a'**, **8b'** и **9'**) в реакциях внутри-

молекулярной циклизации для этих частиц были рассчитаны индексы Фукуи  $f$ , соответствующие НСМО и ВЗМО –  $f_{\text{НСМО}}$  и  $f_{\text{ВЗМО}}$ .



Распределение граничной электронной плотности  $f_{\text{НСМО}}$  в катионах **8a'**, **8b'** и **9'**

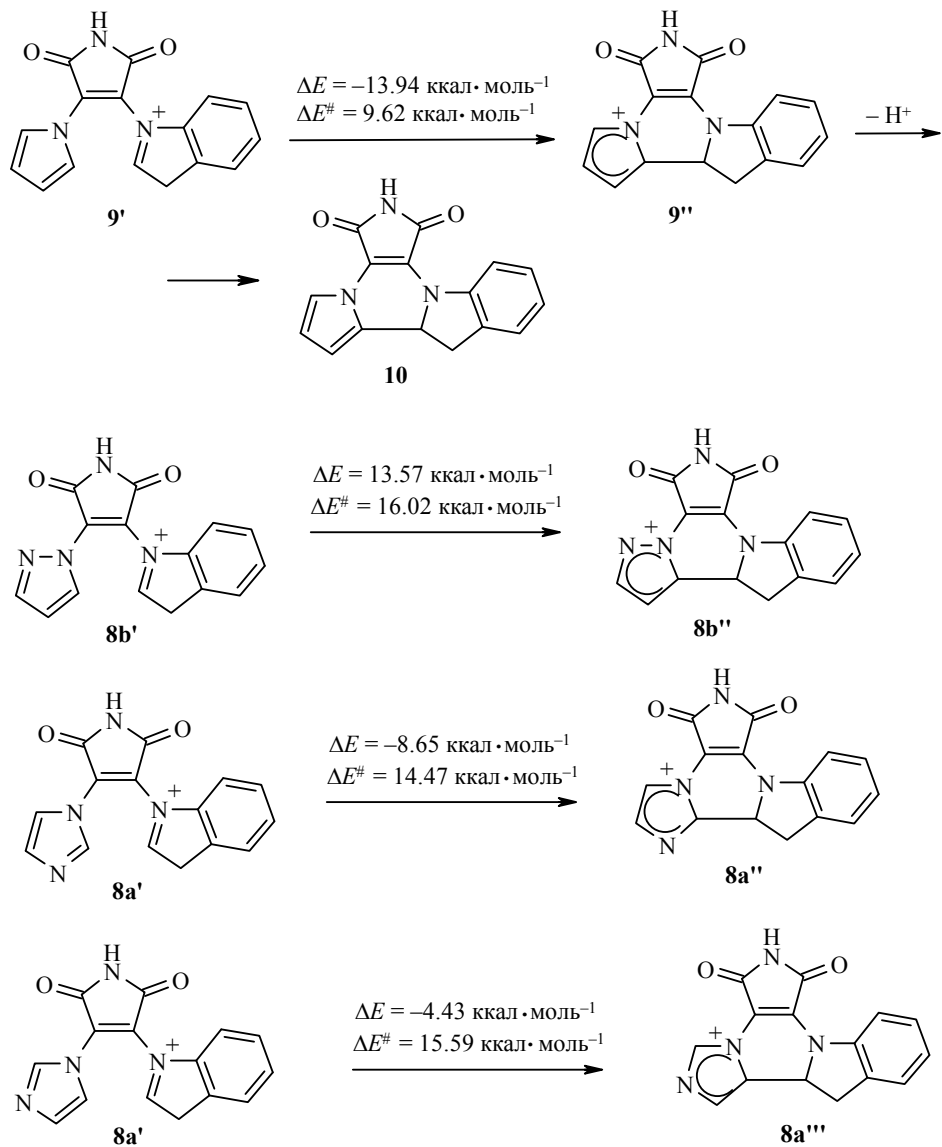


Распределение граничной электронной плотности  $f_{\text{ВЗМО}}$  в катионах **8a'**, **8b'** и **9'**

Наибольшие значения  $f_{\text{НСМО}}$  для представленных индолениниевых катионов сосредоточены в положении 2 индольного цикла, а значения  $f_{\text{ВЗМО}}$  максимальны в положении 2 пиррольного цикла для катиона **9'**, в положении 5 имидазольного фрагмента для катиона **8a'** и в положении 4 пиразольного фрагмента для катиона **8b'**. Таким образом благоприятными направлениями циклизации являются 2–2', 2–5' и 2–4' для катионов **9'**, **8a'** и **8b'** соответственно. Следует отметить, что циклизация **8b'** по направлению 2–4' маловероятна из-за сильного искажения валентных углов в предполагаемом продукте.

Были также рассчитаны и проанализированы активационные барьеры  $\Delta E^\#$  и теплоты  $\Delta E$  внутримолекулярной циклизации катионов **8a'**, **8b'** и **9'** (схема 3).

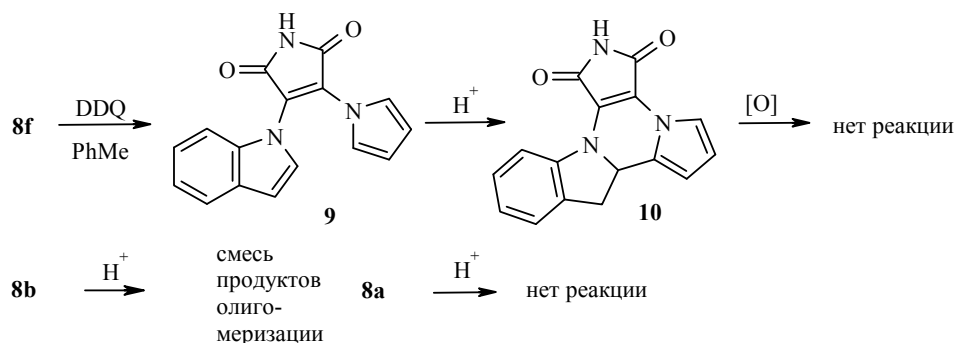
Схема 3



Расчёты показали, что  $\Delta E^\#$  и  $\Delta E$  внутримолекулярной циклизации пиррольной системы **9'** ниже таковых для систем **8a'** и **8b'**. Таким образом, установлена корреляция результатов расчёта энергетических параметров с результатами расчёта распределения электронной плотности в системах **8a'**, **8b'** и **9'** (схема 3).

Продукт конденсации **8f** при обработке 2,3-дихлор-5,6-дициано-1,4-бензохиноном дал 2-(индол-1-ил)-3-(пиррол-1-ил)малеинимид (**9**) (схема 4).

Схема 4



Обработка имида **9** трифторуксусной кислотой в дихлорметане привела к производному пиразина **10** с аннелированными пиррольным, малеинимидным и индолиновым фрагментами, а именно *7a,8*-дигидро-1Н-дипирроло[2',1':3,4;3",4":5,6]пиразино[1,2-*a*]индол-1,3(2Н)-диону (схема 4). Вывод о строении продукта реакции был сделан на основе анализа спектров ЯМР  $^1\text{H}$  и спектров двойного резонанса. В спектре продукта присутствуют два однопротонных дублета дублетов (3.28 и 3.74 м. д.), соответствующие протонам в положении 3 индолинового фрагмента, а также однопротонный тройплет (5.33 м. д.), соответствующий протону в положении 2 индолинового фрагмента. Однопротонные дублет (6.14), тройплет (6.31) и мультиплет (7.29 м. д.) соответствуют протонам в положениях 3, 4 и 5 пиррольного фрагмента. Попытка окислить индолиновый фрагмент в соединении **10** до индольного при помощи  $\text{MnO}_2$  или 2,3-дихлор-5,6-дициано-1,4-бензохинона не привела к желаемому продукту (схема 4).

Схема 5

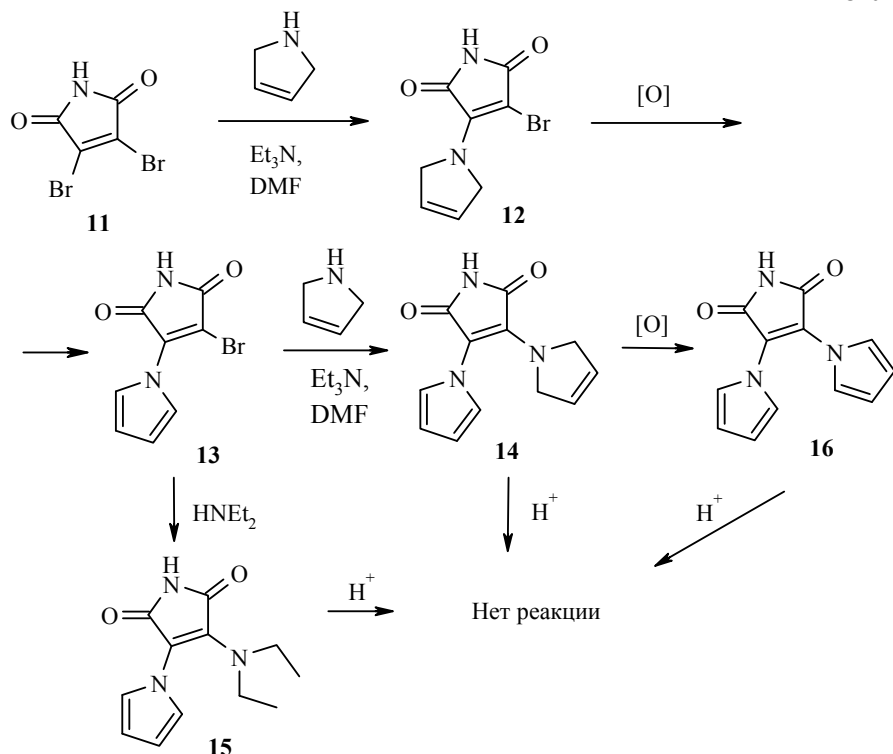


Таблица 1

## Физико-химические характеристики полученных соединений

Соединение	Брутто-формула	Найдено, %			Т. пл., °C	Выход, %
		Вычислено, %	C	H		
<b>8a</b>	C <sub>15</sub> H <sub>10</sub> N <sub>4</sub> O <sub>2</sub>	64.78 64.74	3.57 3.62	20.23 20.13	233–235	70
<b>8b</b>	C <sub>15</sub> H <sub>10</sub> N <sub>4</sub> O <sub>2</sub>	64.79 64.74	3.68 3.62	20.19 20.13	148–149	75
<b>8c</b>	C <sub>18</sub> H <sub>11</sub> N <sub>5</sub> O <sub>2</sub>	65.72 65.65	3.30 3.37	21.20 21.27	199–200	83
<b>8d</b>	C <sub>19</sub> H <sub>12</sub> N <sub>4</sub> O <sub>2</sub>	69.62 69.51	3.58 3.68	17.15 17.06	245–246	74
<b>8e</b>	C <sub>18</sub> H <sub>14</sub> N <sub>4</sub> O <sub>2</sub>	67.88 67.91	4.49 4.43	17.64 17.60	214–215	80
<b>8f</b>	C <sub>16</sub> H <sub>13</sub> N <sub>3</sub> O <sub>2</sub>	68.79 68.81	4.72 4.69	15.09 15.05	209–210	69
<b>8g</b>	C <sub>18</sub> H <sub>14</sub> N <sub>4</sub> O <sub>2</sub>	67.96 67.91	4.42 4.43	17.61 17.60	180–181 (разл.)	77
<b>8h</b>	C <sub>20</sub> H <sub>18</sub> N <sub>4</sub> O <sub>2</sub>	69.39 69.35	5.29 5.24	16.13 16.17	189–190	75
<b>8i</b>	C <sub>22</sub> H <sub>20</sub> N <sub>4</sub> O <sub>3</sub>	68.09 68.03	5.22 5.19	14.38 14.42	221–222	76
<b>8j</b>	C <sub>18</sub> H <sub>21</sub> N <sub>3</sub> O <sub>3</sub>	66.09 66.04	6.55 6.47	12.89 12.84	110–112	73
<b>8k</b>	C <sub>12</sub> H <sub>9</sub> N <sub>3</sub> O <sub>2</sub>	63.47 63.43	4.02 3.99	18.41 18.49	185–186	80
<b>8l</b>	C <sub>14</sub> H <sub>11</sub> N <sub>3</sub> O <sub>3</sub>	62.40 62.45	4.14 4.12	15.68 15.61	221–222	68
<b>9</b>	C <sub>16</sub> H <sub>11</sub> N <sub>3</sub> O <sub>2</sub>	69.34 69.31	3.95 4.00	15.18 15.15	225–226	85
<b>10</b>	C <sub>16</sub> H <sub>11</sub> N <sub>3</sub> O <sub>2</sub>	69.39 69.31	4.03 4.00	15.09 15.15	229–230	62
<b>12</b>	C <sub>8</sub> H <sub>7</sub> BrN <sub>2</sub> O <sub>2</sub>	39.59 39.53	2.94 2.90	11.49 11.53	163–164	70
<b>13</b>	C <sub>8</sub> H <sub>5</sub> BrN <sub>2</sub> O <sub>2</sub>	39.92 39.86	2.03 2.09	11.67 11.62	135–136	72
<b>14</b>	C <sub>12</sub> H <sub>11</sub> N <sub>3</sub> O <sub>2</sub>	62.90 62.87	4.80 4.84	18.32 18.33	219–220	75
<b>15</b>	C <sub>12</sub> H <sub>15</sub> N <sub>3</sub> O <sub>2</sub>	61.82 61.79	6.50 6.48	17.97 18.01	187–188	92
<b>16</b>	C <sub>12</sub> H <sub>9</sub> N <sub>3</sub> O <sub>2</sub>	63.46 63.43	4.02 3.99	18.51 18.49	143–144	76

Пиразольное производное **8b** (схема 4) не изменялось под действием CF<sub>3</sub>COOH в дихлорметане, а при обработке MsOH давало смесь продуктов олигомеризации (данные масс-спектроскопии). Имидазольное производное **8a** не изменялось под действием протонных кислот.

Таблица 2

Спектры ЯМР  $^1\text{H}$  полученных соединений

Соединение	Химические сдвиги, $\delta$ , м. д. ( $J$ , Гц)
<b>8a</b>	6.80 (1H, д, $J = 8.3, J = 0.7$ ); 6.84 (1H, д, $J = 3.5$ ); 6.95–7.04 (3H, м); 7.14 (1H, т, $J = 7.5$ ); 7.52 (1H, д, $J = 3.5$ ); 7.64 (1H, д, $J = 7.7$ ); 7.76 (1H, с); 11.71 (1H, с)
<b>8b</b>	6.56 (1H, д, $J = 2.6, J = 1.7$ ); 6.71 (1H, д, $J = 8.4$ ); 6.74 (1H, д, $J = 3.4, J = 0.9$ ); 6.95 (1H, т, $J = 7.8$ ); 7.08 (1H, т, $J = 7.8$ ); 7.52 (1H, д, $J = 3.5$ ); 7.58 (1H, д, $J = 7.8$ ); 7.61 (1H, д, $J = 1.8$ ); 8.36 (1H, д, $J = 3.5$ ); 11.63 (1H, с)
<b>8c</b>	6.25 (1H, д, $J = 8.4$ ); 6.65 (1H, т, $J = 7.6$ ); 6.85 (1H, д, $J = 3.1$ ); 6.97 (1H, т, $J = 7.3$ ); 7.39–7.43 (1H, м); 7.49–7.54 (3H, м); 7.71 (1H, д, $J = 3.1$ ); 8.09 (1H, д, $J = 8.4$ ); 11.94 (1H, с)
<b>8d</b>	6.55 (1H, д, $J = 8.1$ ); 6.69 (1H, д, $J = 7.9$ ); 6.76 (1H, т, $J = 7.4$ ); 6.82 (1H, д, $J = 3.4$ ); 6.85 (1H, т, $J = 7.5$ ); 6.94 (1H, т, $J = 7.4$ ); 7.07 (1H, т, $J = 7.6$ ); 7.49 (1H, д, $J = 7.9$ ); 7.60 (1H, д, $J = 8.0$ ); 7.69 (1H, д, $J = 3.4$ ); 8.53 (1H, с); 11.80 (1H, с)
<b>8e</b>	3.93 (2H, уш. с); 6.48 (1H, д, $J = 2.7$ ); 6.65 (2H, д, $J = 5.1$ ); 6.99–7.07 (4H, м); 7.53 (1H, м); 8.22 (2H, д, $J = 5.5$ ); 8.43 (1H, т, $J = 6.7$ ); 10.77 (1H, с)
<b>8f</b>	4.58 (4H, с); 5.76 (2H, с); 6.58 (1H, д, $J = 3.1$ ); 7.09 (1H, т, $J = 7.5$ ); 7.16 (1H, т, $J = 7.5$ ); 7.30 (1H, д, $J = 7.6$ ); 7.34 (1H, д, $J = 3.2$ ); 7.59 (1H, д, $J = 7.6$ ); 10.71 (1H, с)
<b>8g</b>	4.82 (2H, с); 6.04 (2H, д, $J = 8.9$ ); 6.34 (1H, д, $J = 3.3$ ); 6.60 (2H, д, $J = 8.8$ ); 6.82 (1H, с); 6.89 (1H, д, $J = 3.3$ ); 6.99 (1H, т, $J = 7.1$ ); 7.03 (1H, т, $J = 8.1$ ); 7.11 (1H, д, $J = 8.3$ ); 7.41 (1H, д, $J = 6.0$ ); 9.73 (1H, с); 10.74 (1H, с)
<b>8h</b>	2.61 (6H, с); 6.02 (2H, д, $J = 8.9$ ); 6.32 (1H, д, $J = 3.3$ ); 6.52 (2H, д, $J = 8.8$ ); 6.79 (1H, с); 6.87 (1H, д, $J = 3.3$ ); 6.95 (1H, т, $J = 7.1$ ); 7.01 (1H, т, $J = 8.1$ ); 7.11 (1H, д, $J = 8.3$ ); 7.41 (1H, д, $J = 6.0$ ); 9.65 (1H, с); 10.54 (1H, с)
<b>8i</b>	2.77 (4H, т, $J = 4.7$ ); 3.6 (4H, т, $J = 4.7$ ); 6.23 (2H, д, $J = 8.7$ ); 6.37 (1H, д, $J = 3.3$ ); 6.52 (2H, д, $J = 8.8$ ); 6.91–7.00 (3H, м); 7.07 (1H, д, $J = 8.1$ ); 7.40 (1H, д, $J = 8.1$ ); 9.59 (1H, с); 10.84 (1H, с)
<b>8j</b>	0.63–0.73 (2H, м); 0.79–0.87 (2H, м); 1.04–1.18 (4H, м); 2.55 (2H, м); 3.20–3.24 (2H, м); 4.29 (1H, т, $J = 5.2$ ); 6.59 (1H, д, $J = 3.1$ ); 7.08 (1H, т, $J = 7.4$ ); 7.15 (1H, т, $J = 7.4$ ); 7.24 (1H, д, $J = 7.9$ ); 7.31 (1H, д, $J = 3.2$ ); 7.59 (1H, д, $J = 7.8$ ); 7.90 (1H, т, $J = 6.3$ ); 10.64 (1H, с)
<b>8k</b>	6.62 (1H, д, $J = 3.3$ ); 7.07–7.14 (2H, м); 7.17 (2H, м); 7.28 (1H, д, $J = 3.3$ ); 7.36 (2H, с); 7.62 (1H, д, $J = 7.9$ ); 10.55 (1H, с)
<b>8l</b>	2.46 (3H, с); 6.66 (1H, д, $J = 3.3$ ); 7.12 (1H, т, $J = 7.25$ ); 7.18 (1H, т, $J = 7.28$ ); 7.26 (1H, д, $J = 7.1$ ); 7.29 (1H, д, $J = 3.2$ ); 7.63 (1H, д, $J = 7.5$ ); 7.78 (2H, с)
<b>9</b>	6.19 (2H, т, $J = 2.3$ ); 6.80 (1H, д, $J = 3.3$ ); 6.83 (2H, т, $J = 2.2$ ); 6.97 (1H, д, $J = 8.1$ ); 7.04 (1H, т, $J = 7.1$ ); 7.13 (1H, т, $J = 7.2$ ); 7.47 (1H, д, $J = 3.3$ ); 7.64 (1H, д, $J = 7.7$ ); 11.53 (1H, с)
<b>10</b>	3.28 (1H, д, $J = 15.7, J = 9.7$ ); 3.74 (1H, д, $J = 15.7, J = 9.5$ ); 5.33 (1H, т, $J = 9.6$ ); 6.14 (1H, д, $J = 3.3$ ); 6.31 (1H, т, $J = 3.1$ ); 6.92 (1H, т, $J = 7.3$ ); 7.14 (1H, т, $J = 7.3$ ); 7.21 (1H, д, $J = 7.3$ ); 7.29 (1H, м); 7.93 (1H, д, $J = 7.3$ ); 10.7 (1H, с)
<b>12</b>	4.66 (4H, с); 5.95 (2H, с); 10.78 (1H, с)
<b>13</b>	6.39 (2H, с); 7.62 (2H, с); 11.56 (1H, с)
<b>14</b>	4.16 (4H, с); 5.86 (2H, с); 6.11 (2H, т, $J = 2.0$ ); 6.78 (2H, т, $J = 2.1$ ); 10.60 (1H, с)
<b>15</b>	1.01 (6H, т, $J = 7.0$ ); 3.28 (4H, к, $J = 7.0$ ); 6.13 (2H, т, $J = 2.0$ ); 6.74 (2H, т, $J = 2.0$ ); 10.61 (1H, с)
<b>16</b>	6.32 (4H, т, $J = 2.2$ ); 6.87 (4H, т, $J = 2.2$ ); 11.43 (1H, с)

Из пирролина и 2,3-диброммалеинимида (**11**) путём последовательной замены атомов брома и ароматизации (схема 5) были получены 2,3-бис-(пиррол-1-ил)малеинимид (**16**) и 2-диэтиламино-3-(пиррол-1-ил)малеинимид (**15**) – аналоги синтезированных ранее 2,3-бис(индол-1-ил)малеинимида (**1**) и 2-диэтиламино-3-(индол-1-ил)малеинимида (**2**) – с целью изучения возможности получения из них продуктов циклизации, аналогичных соединениям **3** и **4**.

Однако обработка соединений **15** или **16** трифторуксусной кислотой не привела к продуктам циклизации, подобным **3** или **4**. При использовании более сильных кислот и более жестких условий (нагревание) наблюдалось осмоление.

## ЭКСПЕРИМЕНТАЛЬНАЯ ЧАСТЬ

Спектры ЯМР  $^1\text{H}$  и  $^{13}\text{C}$  регистрировали на приборе Varian VXR-400 (400 и 100 МГц соответственно) в  $\text{DMSO-d}_6$ , внутренний стандарт ТМС. Температуры плавления определяли на приборе Buchi SMP-20 и приводили неисправленными. Аналитическую ТСХ выполняли на пластинках Silica Gel F254 (Merck), колоночную хроматографию – на силикагеле Silica Gel Merck 60. Экстракты сушили над безводным  $\text{Na}_2\text{SO}_4$  и упаривали при пониженном давлении. Использовали коммерческие реагенты (Acros, Fluka) и растворители (Химмед). Элементный анализ выполняли в аналитической лаборатории Центра химии лекарственных средств ВНИХФИ.

**Синтез 2-замещённых 3-(индол-1-ил)малеинимидов 8a–j** (общая методика). К раствору 2-бром-3-(индол-1-ил)малеинимида (**7**) в 10 мл ДМФА добавляют 1.2 экв. соответствующего нуклеофила и 1.2 экв.  $\text{Et}(2\text{-Pr})_2\text{N}$ , реакционную массу перемешивают при 60 °C, контролируя ход реакции с помощью ТСХ (элюент *n*-гексан–этилацетат, 1:1), до полной конверсии исходного имида **7**. Реакционную массу охлаждают до комнатной температуры, разбавляют 100 мл этилацетата и промывают 0.1 н. HCl (2 × 20 мл), 10 мл насыщенного раствора  $\text{NaHCO}_3$ , сушат и упаривают. Остаток перекристаллизовывают из 2-ПрОН.

**2-Амино-3-(индол-1-ил)малеинимид (**8k**)**. Раствор 100 мг (0.34 ммоль) соединения **7** в 5 мл насыщенного раствора аммиака в  $\text{MeOH}$  перемешивают при комнатной температуре до полного исчезновения исходного соединения **7** (3–4 ч). Реакционную смесь отфильтровывают и упаривают. Остаток растворяют в 10 мл этилацетата и промывают 0.1 н. HCl (2 × 3 мл), 5 мл насыщенного раствора  $\text{NaHCO}_3$  сушат и упаривают. Остаток перекристаллизовывают из 2-ПрОН. Получают 63 мг (0.28 ммоль) соединения **8k** в виде твёрдого вещества жёлтого цвета, выход 80%.

**2-Амино-N-ацтил-3-(индол-1-ил)малеинимид (**8l**)**. Раствор 30 мг (0.13 ммоль) имида **8k** в 3 мл уксусного ангидрида нагревают 2 ч при 70 °C. Смесь охлаждают до ~20 °C и выливают в 50 мл насыщенного раствора  $\text{NaHCO}_3$ . После разложения избытка уксусного ангидрида продукт реакции экстрагируют этилацетатом (2 × 10 мл), органические экстракты сушат и упаривают. Остаток перекристаллизовывают из 2-ПрОН. Получают 24 мг (0.09 ммоль) соединения **8l** в виде твёрдого вещества жёлтого цвета, выход 68%.

**2-(Индол-1-ил)-3-(пиррол-1-ил)малеинимид (**9**)**. К раствору 200 мг (0.72 ммоль) соединения **8f** в 50 мл толуола прибавляют 200 мг (0.88 ммоль) 2,3-дихлор-5,6-дициано-1,4-бензохинона. Реакционную смесь перемешивают при кипячении 2 ч, охлаждают до комнатной температуры, промывают насыщенным раствором

$\text{NaHSO}_3$  ( $2 \times 10$  мл), насыщенным раствором  $\text{NaHCO}_3$  ( $4 \times 5$  мл), сушат и упаривают. Остаток перекристаллизовывают из 2-PrOH. Получают 179 мг (0.61 ммоль) продукта **9** в виде твёрдого вещества тёмно-красного цвета, выход 85%.

**7a,8-Дигидро-1Н-дипирроло[2',1':3,4;3",4":5,6]пиразино[1,2-*a*]индол-1,3(2Н)-диону (10).** К раствору 100 мг (0.36 ммоль) имида **9** в 20 мл  $\text{CH}_2\text{Cl}_2$  добавляют 2 мл  $\text{CF}_3\text{COOH}$ . Реакционную смесь перемешивают 2 ч при комнатной температуре. Реакционную смесь упаривают, остаток растворяют в 10 мл этилацетата и промывают насыщенным раствором  $\text{NaHCO}_3$  ( $2 \times 5$  мл), сушат и упаривают.

Остаток перекристаллизовывают из толуола. Получают 62 мг (0.22 ммоль) продукта **10** в виде твёрдого вещества тёмно-красного цвета, выход 62%.

**2-Бром-3-(2,5-дигидропиррол-1-ил)малеинимид (12).** К раствору 1000 мг (3.9 ммоль) 3,4-дигроммалеинимида в 20 мл ДМФА добавляют 300 мг (4.3 ммоль) пирролина и 430 мг (4.3 ммоль) триэтиламина. Реакционную смесь перемешивают 3 ч при комнатной температуре, затем разбавляют 150 мл этилацетата, промывают насыщенным раствором лимонной кислоты ( $2 \times 20$  мл), насыщенным раствором  $\text{NaHCO}_3$  ( $2 \times 30$  мл), сушат и упаривают. Остаток перекристаллизовывают из 2-PrOH. Получают 663 мг (2.7 ммоль) имида **12** в виде твёрдого вещества жёлтого цвета, выход 70%.

**2-Бром-3-(пиррол-1-ил)малеинимид (13).** К раствору 500 мг (2.1 ммоль) соединения **12** в 50 мл толуола добавляют 530 мг (2.3 ммоль) 2,3-дихлор-5,6-дициано-1,4-бензохинона. Реакционную смесь перемешивают при кипячении 2 ч, охлаждают до комнатной температуры, промывают насыщенным раствором  $\text{NaHSO}_3$  ( $2 \times 10$  мл), насыщенным раствором  $\text{NaHCO}_3$  ( $4 \times 10$  мл), сушат и упаривают. Остаток перекристаллизовывают из 2-PrOH. Получают 363 мг (1.51 ммоль) имида **13** в виде твёрдого вещества жёлтого цвета, выход 72%.

**2-(2,5-Дигидропиррол-1-ил)-3-(пиррол-1-ил)малеинимид (14).** К раствору 300 мг (1.3 ммоль) имида **13** в 10 мл ДМФА добавляют 112 мг (1.6 ммоль) пирролина и 160 мг (1.6 ммоль) триэтиламина. Реакционную смесь перемешивают 3 ч при комнатной температуре, разбавляют 100 мл этилацетата, промывают насыщенным раствором лимонной кислоты ( $2 \times 20$  мл), насыщенным раствором  $\text{NaHCO}_3$  ( $2 \times 30$  мл), сушат и упаривают. Остаток перекристаллизовывают из 2-PrOH. Получают 223 мг (0.98 ммоль) соединения **14** в виде твёрдого вещества жёлтого цвета, выход 75%.

**2-Дизтиламино-3-(пиррол-1-ил)малеинимид (15).** К раствору 300 мг (1.3 ммоль) имида **13** в 10 мл ДМФА прибавляют 220 мг (3 ммоль) дизтиламина. Реакционную смесь перемешивают 3 ч при комнатной температуре, разбавляют 100 мл этилацетата, промывают насыщенным раствором лимонной кислоты ( $2 \times 20$  мл), насыщенным раствором  $\text{NaHCO}_3$  ( $2 \times 30$  мл), сушат и упаривают. Остаток перекристаллизовывают из 2-PrOH. Получают 280 мг (1.2 ммоль) имида **15** в виде твёрдого вещества жёлтого цвета, выход 92%.

**2,3-Бис(пиррол-1-ил)малеинимид (16).** К раствору 200 мг (0.87 ммоль) соединения **14** в 50 мл толуола добавляют 220 мг (0.97 ммоль) 2,3-дихлор-5,6-дициано-1,4-бензохинона. Реакционную смесь перемешивают при кипячении 2 ч, охлаждают до комнатной температуры, промывают насыщенным раствором  $\text{NaHSO}_3$  ( $2 \times 10$  мл), насыщенным раствором  $\text{NaHCO}_3$  ( $4 \times 10$  мл), сушат и упаривают. Остаток перекристаллизовывают из 2-PrOH. Получают 150 мг (0.66 ммоль) соединения **16** в виде твёрдого вещества жёлтого цвета, выход 76%.

*Работа поддержана Федеральным агентством по науке и инновациям (государственный контракт 02.512.12.2035 от 12 мая 2009 г), а также грантом НШ-5290-2010.4.*

## СПИСОК ЛИТЕРАТУРЫ

1. P. Goekjian, M. Jirousek, *Expert Opin. Invest. Drugs*, **10**, 2117 (2001).
2. H. Nakano, S. Omura, *J. Antibiot.*, **62**, 17 (2009).
3. S. A. Lakatosh, Y. N. Luzhikov, M. N. Preobrazhenskaya, *Org. Biomol. Chem.*, **1**, 826 (2003).
4. J. Bergman, *Chem. Scripta*, **27**, 539 (1987).
5. R. L. Hinman, C. P. Bauman, *J. Org. Chem.*, **29**, 2437 (1964).

Научно исследовательский институт  
по изысканию новых антибиотиков  
им. Г. Ф. Гаузе РАМН, Москва 119021, Россия  
e-mail: mnp@space.ru

Поступило 17.08.2010